

دراسة نظرية لانتقال الحرارة بالحمل المختلط خلال

قناة مثلاة درجة حرارة سطحها ثابتة

على لفته كعید*

تاريخ التسلم: 2004/12/19

تاريخ القبول: 2005/4/18

الخلاصة

في هذا البحث تم اجراء دراسة نظرية لانتقال الحرارة بالحمل المختلط خلال قنوات مثلاة متساوية الاضلاع درجة حرارة سطحها ثابتة وموضوعة بشكل افقي. جريان المائع طباقى ومكتمل النمو هيدروديناميكياً وفي طور التشكيل الحراري على افتراض ان المائع الجارى بعد براحتل كبير حيث تم دراسة تأثير الحمل المختلط على انتقال الحرارة في منطقة الدخول ولا عدد رالى من 0 الى 4×10^5 وذلك بحل معادلات نافير-ستوك ومعادلة الطاقة عددية و باستخدام طريقة (الدوامية - دالة الاسباب) بعد تحويل هذه المعادلات التفاضلية المعقدة الى معادلات جبرية خطية بسيطة باستخدام تقنية الفروقات المحددة وبسبب التعقيد الموجود في الشكل الهندسى للقناة فقد تم استخدام نظام مطابقة احداثيات الجسم (B.F.C.S.)، ومن خلال النتائج التي تم الحصول عليها وجد ان زيادة عدد رالى تؤدي الى زيادة انتقال الحرارة في منطقة الدخول بسبب نشوء الجريان الثانوى الذي يزيد من سرعة مزج الحرارة خلال القناة وبالتالي يؤدي الى تقصير طول الدخول الحراري وان زيادة عدد بكلت تؤدي الى تقليل شدة الجريان الثانوى بسبب زيادة تأثير الحمل القسرى الذى يحمل الجريان الثانوى وتبين ان وجود الزوايا يؤدى الى تقليل انتقال الحرارة بشكل كبير داخل القناة بسبب نمو طبقة متاخمة للزوايا تقلل من انتقال الحرارة من الجدار الى المائع.

الكلمات المفتاحية: انتقال الحرارة، الحمل المختلط، قناة مثلاة.

Theoretical Study Of Mixed Convection In Isothermal Triangular Channel

Abstract

Numerical study of mixed convection heat transfer within axial triangular channel was predicted. The channel surfaces have equal length and have a constant temperature. The fluid flow is hydrodynamic laminar buoyant and in thermal formed phase. The study involves the solution of partial differential equations for Navier-Stock and energy in terms of vorticity and stream-function by finite difference technique. The solution is done by using Body Fitted coordinate system due to the complex shapes of the triangular channel. The study demonstrates the effect of mixed convection heat transfer in entrance region for high Prandtl number and for Rayleigh numbers ($0 - 4 \times 10^5$), such that when Rayleigh number increases, the heat transfer in entrance region will increase due to generation of the secondary flow which causes increase in thermal mixing through the channel and finally reduces the thermal entrance length. When Peclet number increases, the secondary flow strength is reduced due to forced convection effect. The study shows that the channel angles reduce the heat transfer in channel because it generate boundary layer which decreases the heat transfer from surface to fluid.

* قسم هندسة المكان والمعدات / الجامعة التكنولوجية

الرموز اليونانية

قائمة الرموز

الرموز	الدلالة	الوحدات
α_{fixal}	معاملات التحويل	-
β_i	الحداثيات المعرفية للابعدية	-
θ	درجة الحرارة الابعدية	-
$N \cdot s/m^2$	الزوجة الديناميكية	μ
m^2/s	الزوجة الكتيماتية	v
kg/m^3	الكتافة الكثائية	ρ
m^3/s	دالة الانسياب	ψ
m/s	دالة التدويم	Ω
Ψ	دالة الانسياب الابعدية	-
Ω	دالة التدويم الابعدية	-
α_e	الانتشارية الحرارية	m^2/s
β_e	معامل التعدد	$1/K$

الاعداد الابعدية

-	عددي كثوف	Gr
-	عدد نسلت	Nu
-	عدد بلكت	Pe
-	عدد براندل	Pr
-	عدد راي	Ra
-	عدد رينولدز	Re

الرموز	الدلالة	الوحدات	الرموز
A	المساحة	m^2	A
B2	قاعدة المثلث	m	B2
D	القطر الهيدروليكي	m	D
g	التعجيل الارضي	m/s^2	g
H	ارتفاع السنت	m	H
Θ	زاوية العجل الرئيسية	°	Θ_b
h	معامل انتقال الحرارة	$w/m^2.K$	h
k	الموصلية الحرارية	$w/m.K$	k
T	درجة الحرارة	K	T
T_w	درجة حرارة الجدار	K	T_w
P	الضغط	N/m^2	P
u, v, w	مركبات السرعة	m/s	u, v, w
X, Y, Z	اتجاهات	x, y, z	X, Y, Z
U, V, W	مركبات السرعة الابعدية	-	U, V, W
x, y, z	احداثيات القناة المثلثة	m	x, y, z
X, Y, Z	الاحداثيات الابعدية	-	X, Y, Z
الرموز	الدلالة	الوحدات	الرموز
A	المساحة	m^2	A

الرموز الحقيقة	الرموز الفرعية
b	معدل ظاهرية
i	درجة المدخل
m	مزيج
w	السطح

1-مقدمة

ان للجريان وانتقال الحرارة خلال قناة مثلاً المقطع اهمية كبيرة بسبب تطبيقاتها العملية الواسعة والمهمة في المبادرات الحرارية المكثزة (Compact Heat Exchanger) التي تحوي زعناف تشكل مجاري مثلاً الشكل يجري فيها المائع حيث توفر مساحة انتقال حرارة كبيرة نسبة الى الحجم الكلي تصل الى $700 m^2/m^3$ لجريان الغازات و $400 m^2/m^3$ لجريان السوائل، حيث تؤدي هذه الزعاف الى زيادة مساحة انتقال الحرارة ما بين السطح الصلب

والسائل وبالتالي زيادة اداء المبادرات الحرارية وتقليل المساحة والوزن والطاقة المطلوبة علاؤة على الكلفة، كما استخدمت هذه القنوات في بعض السوائل اعادة تواجد (Regeneration) المستخدمة في التوربينات الغازية، علاؤة على استخدامها في تبريد الاجهزه الالكترونية الدقيقة (Micro Heat Pipe) [1,2].

وقد بدأت دراسة الجريان وانتقال الحرارة في القنوات المثلثة في عام (1965) عندما قام كل من Haji-Sparrow و Sheikh [3] بتقديم دراسة نظرية عن انتقال الحرارة لمجرى طباقي وقام التشكيل في قنوات غير دائرة المقطع والتي تتضمن قناء مثلاً متساوية الساقين وقطب دائرية درجة حرارة سطحها ثابتة حيث درس تأثير

الجريان القسري الذي يحصل معه الجريان الثنائي الناتج من العمل الطبيعي، حيث افترض ان هبوط الضغط بالاتجاه المحوري ثابت اي ان الجريان المحوري لا يتاثر بالجريان الثنائي الناتج من العمل الطبيعي اما تغير الكثافة فيتم اهمالها في جميع المقاييس التحليلية الموجودة في المعادلات الحاكمة ماعدا حد الوزن باستخدام فرضية Boussinesque تقرير بوسك (Approximation) وبالتالي فان جميع الحدود غير الخطية المرتبطة بالمعادلات التفاضلية والناتجة من تغير الكثافة مع درجة الحرارة سيتم اهمالها كما تم اهمال حد تبدد اللزوجة (Viscous Dissipation) والتوليد الحراري (Heat Generation) من معادلة الطاقة وتنص من المعادلات الحاكمة المستخدمة في الحل :-

1- معادلة الاستمرارية

$$\frac{\partial u}{\partial x} + \frac{\partial v}{\partial y} = 0 \quad (1)$$

2- معادلات الزخم

$$u \frac{\partial w}{\partial x} + v \frac{\partial w}{\partial y} = - \frac{1}{\rho} \frac{\partial p}{\partial z} + \sqrt{\left(\frac{\partial^2 w}{\partial x^2} + \frac{\partial^2 w}{\partial y^2} \right)} \quad (2)$$

$$u \frac{\partial u}{\partial x} + v \frac{\partial u}{\partial y} = - \frac{1}{\rho} \frac{\partial p}{\partial x} + \sqrt{\left(\frac{\partial^2 u}{\partial x^2} + \frac{\partial^2 u}{\partial y^2} \right)} \quad (3)$$

$$u \frac{\partial v}{\partial x} + v \frac{\partial v}{\partial y} = - \frac{1}{\rho} \frac{\partial p}{\partial y} + \sqrt{\left(\frac{\partial^2 v}{\partial x^2} + \frac{\partial^2 v}{\partial y^2} \right)} + g \beta e (T - T_0) \quad (4)$$

3- معادلة الطاقة

$$u \frac{\partial T}{\partial x} + v \frac{\partial T}{\partial y} + w \frac{\partial T}{\partial z} = \alpha e \left(\frac{\partial^2 T}{\partial x^2} + \frac{\partial^2 T}{\partial y^2} + \frac{\partial^2 T}{\partial z^2} \right) \quad (5)$$

في المعادلات اعلاه تسمى

افتراض $\frac{\partial w}{\partial z} = \frac{\partial v}{\partial z} = \frac{\partial u}{\partial z} = 0$ على اعتبار ان الجريان المحوري مكتنز لنموذج هيدروديناميكي ولا يتاثر بالجريان الثنائي الناتج عن العمل الطبيعي

نسبة الشكل للمثلث (نسبة القاعدة الى الارتفاع) على معامل انتقال الحرارة ومعامل الاختناك في القناة ، كما وجد ايضاً ان معامل انتقال الحرارة عندما زاوية العجل تساوي 90° يساوي الناتج عند الزاوية 0° وان معامل انتقال الحرارة للقناة مثلاً يعادل ربع ما هو عليه لحالات متساقيتين متوازيتين . وهذا يتطابق ما توصل اليه كل من Shmidt و Newell [4] في عام (1967) من خلال دراستهما انتقال الحرارة بالحمل القسري في قناة مثلاً متساوية الساقين واخرى متكونه من متساقيتين متوازيتين ، اضافة الى دراستهما تأثير العزل الحراري لاحد او جه القناة على معامل انتقال الحرارة . وفي عام (2002) قام Ibrahimi Usun [5] بدراسة نظرية لانتقال الحرارة بالحمل القسري في مجموعة من القنوات غير الدائرية وكانت من ضمنها قناة مثلاً درجة حرارة سطحها ثابتة يجري خلالها مائع لانيوتوني (Non-Newtonian) مكتنز النمو ($n=0.5$) هيدروديناميكي وفي طور التشكيل الحراري حيث استخدم التحليل العددي في الحل بعد توليد شبكة عقد مولفه من الاعدادات المثلثية الخطوط وتحويل المعادلات الحاكمة من نظام الاعدادات الكارتيزية (x,y) الى نظام الاعدادات المحسوبة (ξ,η) واستخدم طريقة الارخاء المفرط (Over Relaxation Method) في الحصول على النتائج التي بينت تأثير نوع المائع على متوسط معامل انتقال الحرارة خلال القناة في منطقة التشكيل الحراري التي وضجها بعلاقة عدد كراتيزي مع متوسط معامل انتقال الحرارة

2- التحليل النظري :-

في هذه البحث تم دراسة انتقال الحرارة بالحمل المختلط خلال قناة مثلاً متساوية الاطلاع موضوعة بشكل افقي درجة حرارة سطحها ثابتة وجريان المائع خلالها طبقي ومكتنز النمو هيدروديناميكي وفي طور التشكيل الحراري مزلف من

$$V = -\frac{\partial \Psi}{\partial X} \quad (11)$$

وباعطاء تعريف مادلة الدوامية (Vorticity Equation) التي تحقق معانلة الاستمرارية:-

$$\Omega = \frac{\partial V}{\partial X} - \frac{\partial U}{\partial Y} \quad (12)$$

وبتعريف المعادتين (10) و (11) في المعادلة الدوامية فإن الصيغة النهائية لمعادلة الدوامية بدالة دالة الانسياب تصبح:-

$$\Omega = -\left(\frac{\partial^2 \Psi}{\partial X^2} + \frac{\partial^2 \Psi}{\partial Y^2} \right) \quad (13)$$

ونظراً للصعوبات المتعلقة بامداد الضغط فقد استخدام الاشتغال المتماكس لمعادلتي الزخم الافقية (8) والشاقولية (9) ومن ثم طرح أحدهما من الآخر بحيث يمكن التخلص من حد الضغط والمحصول على معادلة واحدة ، ويستخدم المعادلتان (10) و (11) و (13) فإن الصيغة النهائية لهذه المعادلة تصبح كالتالي :-

$$\frac{\partial \Psi}{\partial Y} \frac{\partial \Omega}{\partial X} - \frac{\partial \Psi}{\partial X} \frac{\partial \Omega}{\partial Y} = \frac{i}{Re} \nabla^2 \Omega - \frac{Gr}{Re^2} \frac{\partial \theta}{\partial X} \quad (14)$$

حيث يمثل الحد $\frac{Gr}{Re^2} \frac{\partial \theta}{\partial X}$ تأثير الحمل

ال الطبيعي الذي يؤدي إلى توليد الجريان الثانوي الناتج من الفرق المتدرج في درجة حرارة المسار القريب من المدار ، وبافتراض $Gr = 0$ فإن تأثير الحمل الطبيعي ينعدم من المعادلة السابقة ويصبح الجريان بحمل قسري فقط [8,9]، أما بالنسبة إلى معادلة الطاقة فتأخذ الصيغة اللابعدية الآتية بعد التعويض عن السرعة الافقية والشاقولية بتعریف دالة الانسياب :-

$$\frac{1}{Re Pr} \left(\frac{\partial \Psi}{\partial Y} \frac{\partial \theta}{\partial X} - \frac{\partial \Psi}{\partial X} \frac{\partial \theta}{\partial Y} \right) + \frac{W}{W} \frac{\partial \theta}{\partial Z} = \left(\frac{\partial^2 \theta}{\partial X^2} + \frac{\partial^2 \theta}{\partial Y^2} + \frac{\partial^2 \theta}{\partial Z^2} \right) \dots (15)$$

بوضع بعض الفرضيات التي لا تدخل بالحل العام يمكن تحويل المعادلة السابقة من مسألة جريان ثلاثة الأبعاد إلى مسألة ارتدادية ثانية المعهد (Marching Problem) [8,9, 11,4] حيث يتم اسقاط

[8,9,10]؛ وباستخدام العوامل اللابعدية الآتية

$$X = \frac{x}{D}, \quad Y = \frac{y}{D}, \quad Z = \frac{z}{Re Pr D},$$

$$W = \frac{w}{-D_h^2 \frac{\partial p}{\mu \partial z}}, \quad U = \frac{u}{W}, \quad V = \frac{v}{W},$$

$$\theta = \frac{T - T_w}{T_i - T_w}, \quad Pe = \frac{w \cdot D}{\alpha e}$$

$$Gr = g \beta k D^3 (T_i - T_w) / \alpha_e^2$$

$$Nu = h \cdot D / k, \quad Pr = \nu / \alpha e$$

$$Ra = g \beta k D^3 (T_i - T_w) / \nu \alpha_e$$

$$Re = wD / \nu,$$

بتغيير العوامل اللابعدية السابقة في المعادلات الحاكمة فإن الصيغة النهائية للمعادلات تصبح كما يأتي [6] :-

$$\frac{\partial U}{\partial X} + \frac{\partial V}{\partial Y} = 0 \quad (6)$$

$$\left(\frac{\partial^2 W}{\partial X^2} + \frac{\partial^2 W}{\partial Y^2} \right) = -1 \quad (7)$$

$$U \frac{\partial U}{\partial X} + V \frac{\partial U}{\partial Y} = \frac{\partial P}{\partial X} + \frac{1}{Re} \left(\frac{\partial^2 U}{\partial X^2} + \frac{\partial^2 U}{\partial Y^2} \right) \quad (8)$$

$$U \frac{\partial V}{\partial X} + V \frac{\partial V}{\partial Y} = \frac{\partial P}{\partial Y} + \frac{1}{Re} \left(\frac{\partial^2 V}{\partial X^2} + \frac{\partial^2 V}{\partial Y^2} \right) + \frac{Gr}{Re^2} \theta \quad (9)$$

المعادلة (7) هي معادلة السرعة المحورية حيث تم فرض الجريان الثانوي الناتج عن الحمل الطبيعي له تأثير ضعيف بالمقارنة مع السرعة المحورية بحيث يمكن اهمل حد الحمل (Convection Term) من المعادلة واعتبار ان الجريان المحوري يبقى مكتفلاً للنمو هيدروديناميكيًا خلال القناة، وباعطاء تعريف مركبة السرعة الافقية والشاقولية بدالة دالة الانسياب (Stream Function) :-

$$U = \frac{\partial \Psi}{\partial Y} \quad (10)$$

(B.F.C.S) لتحويل نظام الاحداثيات الفيزيائية (x,y,z) الى نظام الاحداثيات العمومية (ζ,η) بتحويل الفراغ الفيزيائي الغير متوازن (x,y,z) الى فراغ حسابي متوازن متتحول (ζ,η) مما يمكننا من انجاز الشروط الحدية بسهولة لأن حدود الفراغ الفيزيائي تقع على خطوط الاحداثي المحسوب الشكل (2) [15,16]، وقد تم توليد شبكة العقد الثنائية الابعاد الموضحة بالشكل (3) بحل معادلة بواسن (Poisson equation) التي هي معادلة قطع مكافئ كما يأتي:-

$$\frac{\partial^2 \zeta}{\partial x^2} + \frac{\partial^2 \zeta}{\partial y^2} = P(\zeta, \eta) \quad (21)$$

$$\frac{\partial^2 \eta}{\partial x^2} + \frac{\partial^2 \eta}{\partial y^2} = Q(\zeta, \eta) \quad (22)$$

حيث تمثل $P(\zeta, \eta)$ و $Q(\zeta, \eta)$ دوالاً معروفة تستخدم للتحكم في تجمع الشبكة الداخلية ، وعن طريق الشتقاقات طويلة يتم تحويل الحسابات العددية الى المستوى المستطيل المتتحول المنظم ، حيث يتبع عن ذلك نظام ثانوي من معادلين تقاضيين جزئيين :-

$$\alpha \frac{\partial^2 x}{\partial \zeta^2} - 2\beta \frac{\partial^2 x}{\partial \zeta \partial \eta} + \gamma \frac{\partial^2 x}{\partial \eta^2} = - J \left(\frac{\partial x}{\partial \zeta} P(\zeta, \eta) + \frac{\partial x}{\partial \eta} Q(\zeta, \eta) \right) \quad (23)$$

$$\alpha \frac{\partial^2 y}{\partial \zeta^2} - 2\beta \frac{\partial^2 y}{\partial \zeta \partial \eta} + \gamma \frac{\partial^2 y}{\partial \eta^2} = - J \left(\frac{\partial y}{\partial \zeta} P(\zeta, \eta) + \frac{\partial y}{\partial \eta} Q(\zeta, \eta) \right) \quad (24)$$

حيث ان :-

$$\alpha = \frac{\partial^2 x}{\partial \eta^2} + \frac{\partial^2 y}{\partial \eta^2} \quad (25)$$

$$\beta = \frac{\partial x}{\partial \zeta} \frac{\partial x}{\partial \eta} + \frac{\partial y}{\partial \zeta} \frac{\partial y}{\partial \eta} \quad (26)$$

$$\gamma = \frac{\partial^2 x}{\partial \zeta^2} + \frac{\partial^2 y}{\partial \zeta^2} \quad (27)$$

المشتقة الثانية لدرجة الحرارة من المعادلة السابقة عندما يكون عدد بكلت Pe (Peclet Number) اكبر من 100 [7]، حيث تحول معادلة الطاقة الى معادلة قطع مكافئ تحل بالطريقة الارتحالية لدرجة الحرارة .اما الشروط الحدية المفروضة على الجدار فهي:-

$$\theta = U = V = W = \psi = 0$$

و عند المدخل:-

$$\theta_1 = 1$$

ولغرض ايجاد معامل انتقال الحرارة الموضعى على محيط القناة يستخدم تدرج درجة الحرارة على الجدار [8]:-

$$Nu = - \frac{\frac{\partial \theta}{\partial n}}{\theta_b} \quad (16)$$

اما متوسط عدد نسلت فيتم ايجاده من اجراء التكامل لعدد نسلت الموضعى على السطح ، او من اجراء موازنة حرارية على المائع الجاري خلال القناة [8,9] :-

$$\bar{Nu} = - \frac{\bar{W} \frac{\partial \theta}{\partial Z}}{4\theta_b} \quad (17)$$

حيث تمثل θ درجة الحرارة الظاهرية التي يمكن استخراجها من المعادلة الآتية :-

$$\theta_b = \int_A W \cdot dA / \int_A W \cdot dA \quad (18)$$

اما معامل الاحتكاك فيمكن الحصول عليه بصيغة $f \cdot Re$ باستخدام قانون دارسي بعد التعويض عن العوامل الابعدية المستخدمة وكما يأتي :-

$$f \cdot Re = \frac{2D_h \frac{\partial \theta}{\partial Z}}{\rho \bar{W}^2} \cdot \frac{\rho \bar{W} D_h}{\mu} = \frac{2}{\bar{W}} \quad (19)$$

\bar{W} تمثل متوسط السرعة المحورية التي يمكن استخراجها كما يأتي :-

$$\bar{W} = \int_A W \cdot dA / \int_A dA \quad (20)$$

3-نظام مطابقة احداثيات الجسم (Fitted Coordinate System)

نظراً لتعقيد الشكل الهندسي للقناة فقد تم استخدام نظام مطابقة احداثيات الجسم

الجدول (1) يمكن الحصول على جميع المعادلات الحاكمة المطلوبة .

الجدول (1)

يتم الحصول على الدوامية على محيط القناة باستخدام متسلسلة Taylor (Series) من الدرجة الأولى والتي تكون صيغتها النهائية بعد تحويلها إلى نظام الأحداثيات المحسوبة كما يأتي [17]: -

$$\Omega = \frac{\gamma}{j^2} \frac{\partial^2 \Psi}{\partial \eta^2} \quad (32)$$

حالة خطوط (η) ثابتة

$$\Omega = \frac{a}{j^2} \frac{\partial^2 \Psi}{\partial \zeta^2} \quad (33)$$

حالة خطوط (ζ) ثابتة

فيما يتعلق بالمعادلة (16) التي تحوي على مشتقة من الدرجة الأولى عمودية على محيط القناة فقد تم تحويلها باستخدام المعادلات الموجدة بالملحق (2) التي يمكن من خلالها تحويل المعادلات إلى نظام الأحداثيات العمومية وتوفير تعداد مع نقاط الشبكة الداخلية بصفن الوقت [15,16,17].

4- الحل العددي :-

باستخدام تقنية الفروقات المحددة في الحل العددي تم تحويل المعادلات التفاضلية اللاخطية السابقة الذكر إلى معادلات جبرية خطية لتحول المسألة من مشكلة حسابية دقيقة إلى مشكلة جبرية تقريرية يمكن حلها بسهولة باستخدام طرق التحليل العددي ، وقد استخدم طرق مختلفة في الحل العددي للوصول إلى النتائج يمكن ايجاز طريقة الحل المستخدمة لكل معادلة بما يأتي :-

1- تم توليد شبكة العقد بحل المعادلين (23) و (24) بطريقة S.O.R (Successful Over-relaxation Method [18,16]) حيث يتم الحصول على توزيع $X(i,j)$ و $Y(i,j)$ الموضح بالشكل (3) .

S	B	A	ω	ϕ	المعادلة
1	1	0	0	W	معادلة السرعة المغوية
$\frac{\partial \Omega}{Re^2 \partial x}$	$\frac{1}{Re}$	1	Ψ	Ω	معادلة الزخم
Ω	1	0	0	Ψ	معادلة التوأمية
$\frac{W \partial \phi}{W \partial Z}$	1	$RePr$	Ψ	θ	معادلة الطاقة

(31)

$$J = \frac{\partial(x,y)}{\partial(\zeta,\eta)} = \frac{\partial x}{\partial \zeta} \frac{\partial y}{\partial \eta} - \frac{\partial x}{\partial \eta} \frac{\partial y}{\partial \zeta} \quad (28)$$

اما فيما يخص دوال التحكم المستخدمة فهي :-:[18]

$$P(\zeta,\eta) = \frac{\partial x}{\partial \zeta} \frac{\partial^2 x}{\partial \zeta^2} + \frac{\partial y}{\partial \zeta} \frac{\partial^2 y}{\partial \zeta \partial \eta} / \left(\frac{\partial^2 x}{\partial \zeta^2} + \frac{\partial^2 y}{\partial \zeta^2} \right) \quad (29)$$

$$Q(\zeta,\eta) = \frac{\partial x}{\partial \eta} \frac{\partial^2 x}{\partial \eta^2} + \frac{\partial y}{\partial \eta} \frac{\partial^2 y}{\partial \eta^2} / \left(\frac{\partial^2 x}{\partial \eta^2} + \frac{\partial^2 y}{\partial \eta^2} \right) \quad (30)$$

ويتم تحويل المعادلات التفاضلية الحاكمة من نظام الأحداثيات الكارتيزية (x,y) إلى نظام الأحداثيات العامة (ζ,η) حيث تصبح بذلك ملائمة مع استخدام نظام مطابقة احداثيات الجسم ويتم الاعتماد عليها في الحلول العددية ، ويمكن اعطاء معادلة تعطي تحويل لجميع المعادلات الحاكمة السابقة من المجال الفزيائي (x,y) إلى المجال المحسوب (ζ,η) ومعادلة التحويل هذه تأخذ الصيغة الآتية:-

$$A \left[\left(-\frac{\partial \phi}{\partial \eta} \frac{\partial \phi}{\partial \zeta} + \frac{\partial \phi}{\partial \zeta} \frac{\partial \phi}{\partial \eta} \right) / I \right] = B \left[\left(2 \frac{\partial \phi}{\partial \zeta} + \alpha \frac{\partial^2 \phi}{\partial \zeta^2} - \frac{\partial^2 \phi}{\partial \eta^2} + \beta \frac{\partial^2 \phi}{\partial \eta \partial \zeta} \right) / I^2 \right] + S$$

حيث تمثل ϕ و ω المتغيرات المستخدمة بالمعادلات الحاكمة و A و B الثوابت و S نتئ (source term) و I باستخدام

التي تضمنت انتقال الحرارة بالحمل المختلط خلال قناة مثلاً متساوية الأضلاع ($Th=60$) فقد تم في البداية مقارنة نتائج الحل العددي لمعدل معامل انتقال الحرارة ودرجة الحرارة الظاهرة في أثناء التشكيل الحراري خذلما يكون انتقال الحرارة بالحمل القسري حيث $R_d=0$ في قناة مثلاً زاوية ميلها الرأسية 90° مع النتائج التي حصل عليها Ibrahim Uzun [5] الموضح في الشكل (4) حيث وجد توافق جيد في النتائج ومنظراً لعدم توفر دراسات سابقة لانتقال الحرارة بالحمل المختلط خلال قناة مثلاً فقد تم اجراء تحويل للبرنامج المستخدم لايجاد معدل معامل انتقال الحرارة خلال قناة مربعة لشأن عملية التشكيل الحراري وبمقارنة هذه النتائج مع دراسة Jenn-Wuu and Cheng and Chau [11] وجدت النتائج مطابقة كما موضح في الشكل (5)..

ان تأثير الزوايا على الجريان السحوري خلال القناة والتي افترضت تامة التشكيل هيدروديناميكي يمكن ملاحظته من خلال الشكل (6) الذي يعطي توزيع الحرارة داخل القناة حيث نجد ان سرعة المائع تقل بالاقرابة من الزوايا بسبب الزيادة التي تحدث في اتجاه القص قرب الزوايا والتي تؤدي الى زيادة سماكة طبقة المائع المتاخمة للزوايا، كما ان معامل انتقال الحرارة ومعامل الاحتكاك لحالة الجريان بالحمل القسري تكون اقل بالمقارنة مع القناة الدائرية والمستطيلة والجريان بين لوحين [8,9,11,12, 13, 14.] بسبب التغيرات المحيطية التي تسببها وجود الزوايا. اما بالنسبة الى انتقال الحرارة بالحمل المختلط خلال القناة حيث يظهر تأثير الحمل الطبيعي الذي يؤدي الى توليد الجريان الثانوي الذي يحمل بالجريان الرئيسي (المحوري) خلال القناة فنجد من الشكل (7) الذي يوضح مرحلة السرعة الاقمية والشاقولية التي تشكل الجريان الثانوي خلال القناة لحالة التبريد، ان ميكانيكية نشوء هذا الجريان يعتمد على ان المائع الساخن الملائم لجدار القناة يبدأ بالتبريد ويتحرك بموازاة السطح المائل الى

2- تم حل معادلة السرعة المقتلة بمعادلة بوسن (Poisson equation) والتي هي معادلة قطع مكافئه باستخدام طريقة (S.O.R) حيث يتم الحصول على توزيع السرعة المحورية ($W_{(i,j)}$) التي تبقى ثابتة خلال القناة ولا تتأثر بالجريان الثانوي الناتج عن الحمل الطبيعي.

3- تم استخدام طريقة الارخاء (Relaxation Method) في حل معادلة دالة الانسياب حيث يمكن استخراج دالة الانسياب ($\Psi_{(i,j)}$) في كل عقدة بالأرخاء الى اصغر قيمة للمتبقي والتي فرضت 0.001.

4- للحصول على الدوامية ($(j,i)\Omega$) في كل نقطة فقد استخدم طريقة Alternating Direction Implicit (ADI) [16] في حل معادلة نقل الدوامية.

5- فيما يخص معادلة الطاقة التي هي معادلة ADI قطع مكافئ فقد تم استخدام طريقة ADI في الحل العددي للحصول على توزيع درجة الحرارة بالاتجاه المحوري حيث تتمثل ($\theta_{(i,j)}$) في الخطوة الاولى درجة الحرارة عند مدخل القناة و ($\theta_{(i,j+1)}$) درجة الحرارة في نقطة تبعد dz عن مدخل القناة.

6- يستمر باعادة الخطوات من (3) الى (4) حتى يتحقق الشرط التالي:-

$$\epsilon = \frac{Nu^{n+1} - Nu^n}{Nu^{n+1}} < 10^{-5}$$

حيث يكون الجريان قد اصبح تام التشكيل حرارياً ويثبت قيمة عدد نسلت لحالة الحمل القسري عند $Nu=2.51$ تقريراً والتي تعطي نسبة خطأ 1.62% مع النتائج التي حصل عليها Shah [2].

5-مناقشة النتائج:
ان الجريان وانتقال الحرارة خلال قناة مثلاً تواجه بعض التعقيد بسبب وجود الزوايا التي تؤدي الى حدوث تغيرات كبيرة في كل من اتجاه القص وانتقال الحرارة على محيط القناة، ولغرض التأكيد من موثوقية النموذج الرياضي العددي والنتائج التي تم الحصول عليها في الدراسة الحالية

كبيرة تؤدي إلى سرعة الوصول إلى منطقة تمام التشكيل بسبب المزج الكبير للحرارة الذي يولده الجريان الثانوي مما يؤدي إلى تقصير طول الدخول حيث أن الجريان يصل تمام التشكيل عند استخدام عدد رالي 3000 عندما $Z=0.984$ وعند $Z=0.804$ عندما يكون عدد رالي 80000 ، أما بالنسبة إلى مركز الجريان الثانوي فنجد أنه يكون قريباً من السطح المائل في منطقة الدخول حيث يشغل تغير درجة الحرارة حيزاً قليلاً قرب السطح المائل وعند الابتعاد أكثر عن المدخل فإنه يبدأ بالابتعاد عن السطح المائل ويصعد إلى الأعلى لأن المائع الساخن يسخن بالصعود في حين يشغل المائع البارد سماكاً أكبر من الطبقة المتاخمة لقاعدة القناة ، أما بالنسبة إلى خطوط تساوي درجة الحرارة الموضحة في الطرف اليمنى من الأشكال السابقة فنجد أن تغير درجة الحرارة لا يشغل إلا حيزاً ضيق بمحاذاة السطح في بداية القناة ولكن بالابتعاد عن منطقة الدخول فإن هذا التأثير يبدأ بالتقديم إلى داخل القناة بسبب زيادة فرق درجة الحرارة بين المائع المتاخم للجدار ودرجة الحرارة الظاهرية والذي يؤدي إلى نشوء الجريان الثانوي الذي يقوم بحمل المائع الساخن الموجود في منتصف القناة إلى الأعلى في الوقت الذي ينزل المائع البارد الملافق للجدار المائل إلى الأسفل مما يؤدي إلى حدوث تغير كبير في خطوط تساوي درجة الحرارة في منتصف قاعدة القناة بسبب شدة الجريان الثانوي الذي يستمر بدفع المائع الساخن إلى أعلى القناة في حين تختفي درجة حرارة المائع الملافق لقاعدة القناة للزوال المائع البارد وبشكل هذا التأثير في منتصف قاعدة القناة عند استخدام اعداد رالي كبيرة ويمكن ملاحظة ذلك في الأشكال (15) و(16) و(17) بعد ذلك يبدأ تأثير التبريد يتقدّم تدريجياً إلى داخل القناة من القاعدة في حين يبقى درجة حرارة المائع القريب من قمة القناة أعلى بسبب استمرار صعود المائع الساخن إليه ، وباستمرار الابتعاد عن منطقة الدخول فإن تأثير التبريد يصل إلى جميع

الأسفل وعند اصطدامه بالزاوية الموجودة في قاعدة القناة فإن اتجاه حركته تتحرف إلى داخل القناة حيث يجري بموازاة القاعدة وعند اصطدامه بتيار المائع القائم من الصف الثاني من القناة والتي تكون متساوية بالشدة فإن اتجاه حركته تتحرف إلى الأعلى بموازاة المحور الشاقولي المنصف للقناة حيث يسحب معه المائع الساخن الموجود في منتصف القناة وعند اصطدامه بزاوية الرأسية الموجودة في قمة القناة فإنه ينحرف باتجاهين متوازيين ويجري بموازاة السطح المائل في كل نصف من القناة حيث يبرد مره ثانية ، ويساعد في هذه الحركة زيادة كثافة المائع البارد الملافق لجدار المائل ونزوله إلى الأسفل وانخفاض كثافة المائع الساخن الموجود في منتصف القناة بالمقارنة مع المائع البارد وبالتالي صعوده إلى الأعلى حيث ينتج من هذه الحركة الجريان الثانوي الذي تعتمد شدته على عدد رالي المستخدم ويمكن معاينة الجريان الثانوي الناتج من العمل الطبيعي خلال القناة برسم خطوط تساوي درجة الحرارة ودالة الجريان في أماكن متتالية من مدخل القناة وحتى منطقة تمام التشكيل ومن أجل توضيح تأثير عدد رالي على شدة الجريان الثانوي فقد استخرجت النتائج عندما يكون عدد بكلت 300 وعدد رالي 3000 و 80000 في مقاطع مختلفة خلال القناة كما موضح بالأشكال من (8) إلى (19) حيث نجد أن جريان الثانوي يبدأ بالنمو من مدخل القناة وبشكل تدريجياً حتى يأخذ اعظم شدته له في منطقة ما من مدخل القناة بالاعتماد على عدد رالي المستخدم حيث يصل اعظم شدته له عند $Z=0.03$ عندما يكون عدد رالي 3000 وعند $Z=0.005$ عندما عدد رالي يكون 80000 ، يبدأ الجريان الثانوي بعدها يضعف تدريجياً حتى الوصول إلى منطقة تمام التشكيل حيث يتلاشى الجريان الثانوي نهائياً لأن الفرق بين درجة حرارة الجدار ودرجة الحرارة الظاهرية للمائع الجاري يصبح قليلاً ولا يسمح بنشوء الجريان الثنائي . ويلاحظ أن استخدام اعداد رالي

الزرويا والسبب في ذلك ان مساحة انتقال الحرارة من الجدار الى المانع يكون اكبر عند الزرويا مما يؤدي الى نمو طبقة متاخمة من المانع تعيق وصول تأثير الحرارة من الزرويا الى باقي اجزاء المانع الموجود داخل القناة، كما نجد ان معامل انتقال الحرارة يقل على جميع محبيط القناة عند الابتعاد عن المدخل ويبت في منطقة تمام التشكيل، فيما يخص الشكلين (26) و (27) اللذان يوضحان معامل انتقال الحرارة لحالة الحمل المختلط لعدد رالي يساوي 3000 و 80000 على التوالي فنجد ان معامل انتقال الحرارة يبدأ بالزيادة تدريجيا على السطح المائل ويقل في القاعدة كلما ابعدنا عن مدخل القناة بسبب الجريان الثانوي الذي يسحب معه المانع البارد الى اسفل القناة ويدفع المانع الساخن الى الاعلى الا انها تبدأ بالعودة الى قيمتها المحاذية لانتقال الحرارة بالحمل القسري في منطقة تمام التشكيل حيث يتلاشى الجريان الثانوي نهاية من القناة، ونلاحظ من الشكل (28) ان زيادة معامل انتقال الحرارة على السطح المائل وتتناقصها في القاعدة تزداد كلما ازداد عدد رالي بسبب الزيادة في شدة الجريان الثانوي كما نجد ان موضع اكبر معامل انتقال حرارة يقترب من الزاوية الرئيسية كلما ازداد عدد رالي بسبب الزيادة في شدة الجريان الثانوي الذي يحمل معه المانع الساخن الى الاعلى،اما بالنسبة الى معدل معامل انتقال الحرارة فنجد من الشكل (29) ان معامل انتقال الحرارة لحالة الحمل القسري يقل تدريجيا بالابتعاد عن مدخل القناة ويصل اقل قيمة له في منطقة تمام التشكيل حيث تصبح درجة حرارة المانع متساوية لدرجة حرارة السطح،اما عند زيادة عدد رالي فنجد ان معامل انتقال الحرارة يبدأ بالزيادة في منطقة الدخول واعظم قيمة يصلها يكون في الموقع الذي يحدث فيه اعظم جريان ثانوي حيث يزداد معدل انتقال الحرارة من الجدار الى المانع بسبب سرعة مرج الحرارة داخل القناة وبالتالي سرعة وصول معامل انتقال الحرارة الى قيمتها المحاذية لانتقال الحرارة بالحمل القسري

اجزاء المانع الموجود في القناة وتصبح درجة الحرارة الظاهرة متساوية لدرجة حرارة الجدار في منطقة تمام التشكيل حيث يضمحل الجريان الثانوي نهاية من القناة ويصبح الجريان بحمل قسري فقط.

من اجل توضيح تأثير الحمل الطبيعي على مركبة السرعة الافقية على طول المحور الشاقولي المنصف للقناة نلاحظ من الشكل (20) و (21) ان اكبر شدة لمركبة السرعة الافقية تكون في مدخل القناة ويقل تدريجيا بالابتعاد عن المدخل وينعكس اتجاهه في منطقة ما من مدخل القناة بالاعتماد على عدد رالي المستخدم حتى يزول نهاية في منطقة تمام التشكيل حيث ينعدم الجريان الثانوي ويلاحظ ان شدة الجريان يكون اكبر عند استخدام عدد رالي عالي ، فيما يخص الى تأثير عدد بكلت على الجريان الثانوي فنجد من خلال الشكل (22) ان زيادة عدد بكلت تؤدي الى تقليل شدة مركبة السرعة الافقية بسبب زيادة تأثير الحمل القسري وبالتالي تقليل شدة الجريان الثانوي نسبة الى السرعة المحورية ،اما تغير درجة حرارة المانع على طول المحور الشاقولي المنصف للقناة فنجد من خلال الشكل (23) و (24) ان زيادة عدد رالي تؤدي الى سرعة انخفاض درجة حرارة المانع القريب من القاعدة في الوقت الذي تزداد فيه درجة حرارة المانع الموجود قرب الزاوية الرئيسية وبسبب ذلك هو صعود المانع الساخن الى الاعلى بواسطة الجريان الثانوي في الوقت الذي ينزل فيه المانع البارد الى القاعدة .

ونظرا لأهمية تأثير قوة الطفو على تحسين انتقال الحرارة داخل القناة فقد تم ايجاد القيمة الموضعة لمعامل انتقال الحرارة على محبيط القناة لتوضيح تأثير الزرويا فيها ،حيث تم في البداية توضيح انتقال الحرارة على محبيط القناة لحالة الحمل القسري من خلال الشكل (25) فتبين ان اعظم قيمة لمعامل انتقال الحرارة يكون في منتصف القاعدة والسطح المائل ويقل تدريجيا بالاقتراب من الزرويا حتى ينعدم في

حدوث تغيرات كبيرة في معامل انتقال الحرارة مهما ازداد Re [8] .

المصادر

1. Balign B.R. and Azrak R.R., "Laminar Fully Developed Flow and Heat Transfer in Triangular Plate - Fin Ducts", *J. Heat Transfer*, Vol. 108, P.P. 24-32, February 1986.
2. Shah R.k., "Laminar Flow Friction and Forced Convection Heat Transfer in Ducts of Arbitrary Geometry", *Int. J. Heat and Mass Transfer*, Vol. 18, P.P. 849-862, 1975.
3. Sparrow E.M. and Haji-sheikh A., " Laminar Heat Transfer and Pressure Drop in Isosceles Triangular, Right Triangular, and Circular Sector Ducts", *J. Heat Transfer*, P.P. 426-427, August 1965.
4. Schmidt F.W. and Newell M.E., "Shorter Communications Heat Transfer in Fully Developed Laminar Flow Through Rectangular And Isosceles Triangular Ducts ",*Int. J. Heat and Mass Transfer*, Vol. 10, P.P. 1121-1123, 1967.
5. Ibrahim Uzun, "Heat Transfer to a Power-Law Fluid in Arbitrary Cross-Sectional Ducts", *J. Eng. Env. Sci* 26, P.P. 7-14, 2002.
6. Dale A. Andson ,John C.Tannehill, Richard H.Plectcher, "Computational Fluid Mechanics and Heat Transfer ", 1984.
7. Kays W.M. Convective Heat And Mass Transfer, McGraw-Hill Inc. 1975.
8. Cheng K.C., Hong S. W. and Hwang G.J., "Buoyancy Effects On Laminar Heat Transfer in the Thermal Entrance Region Of

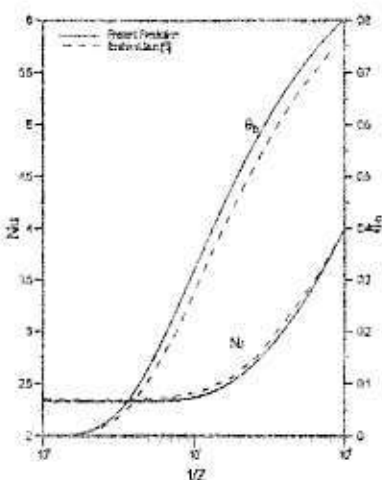
ويمكن ملاحظة تأثير عدد رالي على درجة الحرارة الظاهرة للمائع من خلال الشكل (30) حيث نجد أن زيادة عدد رالي تؤدي إلى الارتفاع من عملية التشكيل الحراري للمائع داخل القناة وقصير طول الدخول والذي يمكن توضيحه من خلال الشكل (31) كما ويمكن إعطاء علاقة ارتباطية بين طول الدخول وعدد رالي عند انتقال الحرارة بالحمل المختلط في قناة مثلاً متصلة متساوية الأضلاع درجة حرارة سطحها ثابتة بالمعادلة الآتية:-

$$Z = 2.3085 * Ra^{-0.095}$$

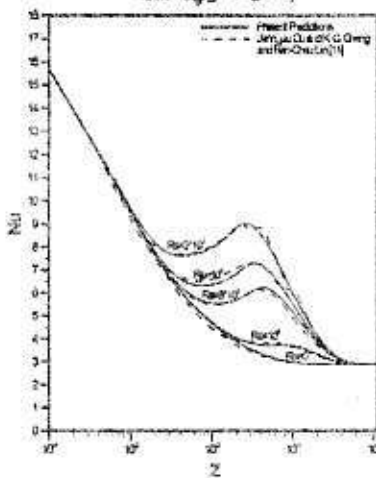
6- الاستنتاجات :-

- 1- ان انتقال الحرارة بالحمل المختلط خلال قناة مثلاً درجة حرارة سطحها ثابتة يكون ذات أهمية في منطقة الدخول فقط حيث يؤدي الى تحسين معامل انتقال الحرارة بسبب الجريان الثانوي الذي يسيء الحمل الطبيعي في حين تعود الى حالتها المكانية لانتقال الحرارة بالحمل القسري في منطقة تمام التشكيل ولكن تأثير الحمل الطبيعي يمكن ان ينعد عندما يكون $Ra \leq 1500$ ، كما ان تأثير الحمل الطبيعي يتلاشى تدريجياً لجميع اعداد رالي عندما يصل الجريان الى $Z=0.2$ تقريباً من مدخل القناة.
- 2- ان زيادة عدد رالي تؤدي الى تقصير طول الدخول بسبب سرعة مزج الحرارة الذي يولده الجريان الثانوي الناتج عن الحمل الطبيعي.
- 3- ان زيادة عدد بكت تؤدي الى تقليل شدة الجريان الثانوي بسبب زيادة تأثير الحمل القسري المتمثلة بالجريان المحوري الذي يحمل معه الجريان الثانوي الناتج من الحمل الطبيعي .
- 4- ان الدراسة الحالية اهملت تأثير الحمل الطبيعي على الجريان المحوري حيث فرضت ان الجريان يبقى تماماً التشكيل هيدروديناميكيأ خلال القناة وعدد برانتل للمائع الحراري كبير بالاعتماد على نتائج الدراسات السابقة التي اعتبرت ان استخدام عدد برانتل اكبر من 10 لا يؤدي الى

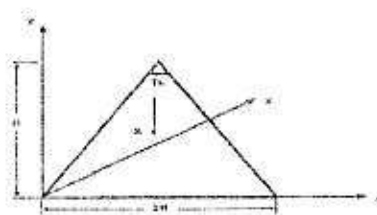
14. Newell P.H., Bergles A.E., "Analysis of Combined Free and Forced Convection For Fully Developed Laminar Flow in Horizontal Tubes", *J. Heat Transfer*, P.P. 83-93, February 1970.
15. Joe F. Thompson , Warsi Z.U.A. "Numerical Grid Generation", 1985.
16. علي نقمة كعوب، "دراسة عددية لانتقال الحرارة بالحمل، القسري خلال مجموعة من الأنابيب باستخدام نظرية مطابقة احداثيات الجسم (B.F.C)"، أطروحة ماجستير، كلية التكنولوجية، هندسة المكان والمعدات، شباط 2002.
17. Broughton R.C. and Oliver A.J."A Numerical Model for convection in complex two-dimensional geometries and its application to buoyancy flow in power cable", *Int. Heat Transfer Conference*, Vol.2, P.P.447-451, 1986.
18. Fletcher C.A.J. and Srinivas K., "Computational Techniques For Fluid Mechanics", Berlin, Springer-Verlag 1992.
9. Cheng K.C. and Guang-jyh Hwang, "Numerical Solution For Combined Free and Forced Laminar Convection in Horizontal Rectangular Channels", *J. Heat Transfer*, P.P. 59-66, February 1969.
10. مهند عبد الفتاح الظاهري "النقل الحراري بالحمل المختلط خلال أنبوب دائري أفقى مملوء بوسط مسامي مثبت" ، أطروحة دكتوراه ، كلية هندسة المكان والمعدات ، تشرين الأول 2000.
11. Jenn-Wuu Ou, Cheng K.C. and Chau Lin, , "Natural Convection Effects On Graetz Problem In Horizontal Rectangular Channel With Temperature for large Pr", *Int. J. Heat and Mass Transfer*, Vol. 17, P.P. 835-843, 1974.
12. Depew C.A., August S.E., "Heat Transfer Due to Combined Free and Forced Convection in a Horizontal and Isothermal Tube", *J. Heat Transfer*, P.P. 380-384, November 1971.
13. Abou-Ellaal M. M. M. ,Merocos S. M., "Buoyancy Effect in the Entrance Region of Horizontal Rectangular channels", *J. Heat Transfer*, Vol. 105, P.P. 924-928, November 1983.



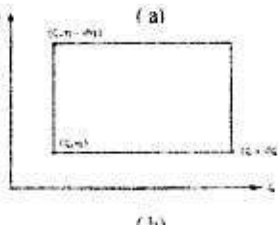
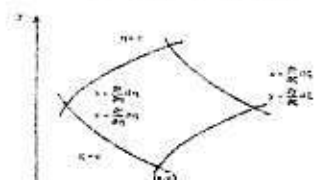
الشكل (4) مقارنة النتائج العددية لبيان تبادل الحرارة مع نتائج دراسة [5] Ibrahim Uzun لحالة انتقال الحرارة
بالحمل المغير($Re=0$).



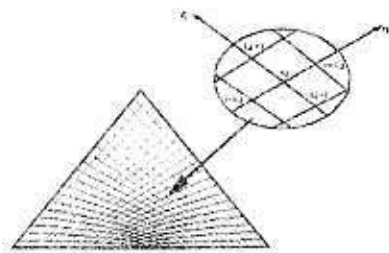
الشكل (5) مقارنة نتائج انتقال الحرارة بالحمل المختلط
في مدخل قناة مربعة مع نتائج [11]Jenn-Wuu and
Cheng and Ran-Chau



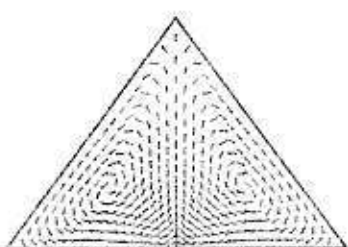
الشكل (1) يوضح شكل واحاديات قناة



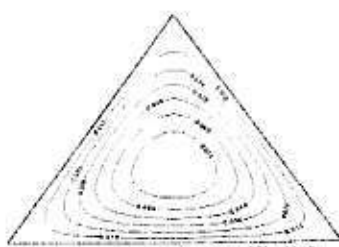
الشكل (2) (a) المستوي القروي
(b) المستوي المفصوب



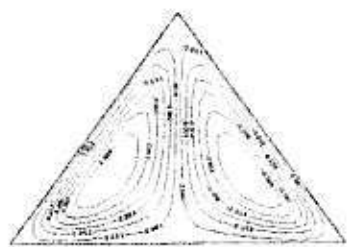
الشكل (3) يوضح التريلف الشبكي
بدالة الاحادات المفصوبة



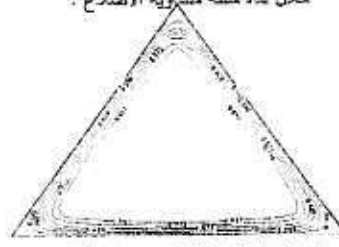
الشكل (7) منكبة المبردة الاقلية والامثلية.



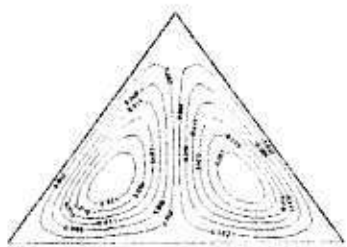
الشكل (6) يوضح الجريان المعموري
خلال قنطرة مبنية من طبقة حرارة متباينة الانصاع .



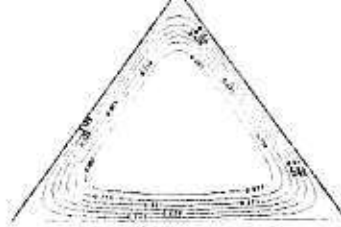
الشكل (8) المخطط الكنتوري لخطوط تساوي درجة الحرارة ودالة الانصاع عندما $(Ra=3000, Pe=300, Z=0.001)$



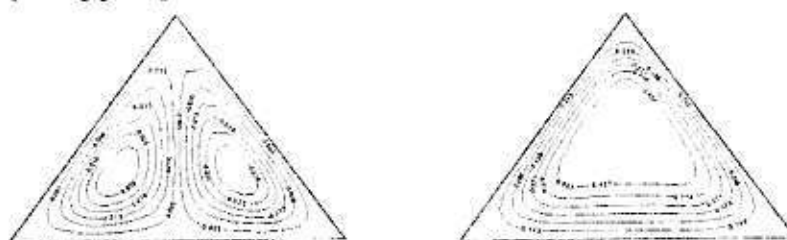
الشكل (9) المخطط الكنتوري لخطوط تساوي درجة الحرارة ودالة الانصاع عندما $(Ra=80000, Pe=300, Z=0.001)$



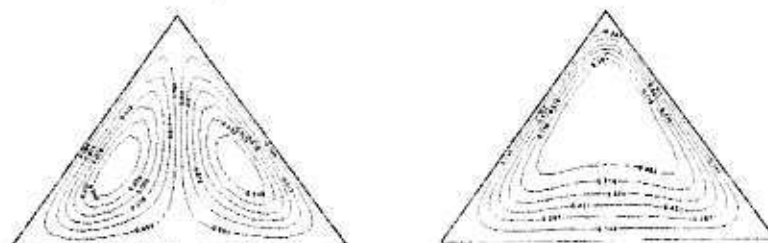
الشكل (10) المخطط الكنتوري لخطوط تساوي درجة الحرارة ودالة الانصاع عندما $(Ra=3000, Pe=300, Z=0.005)$



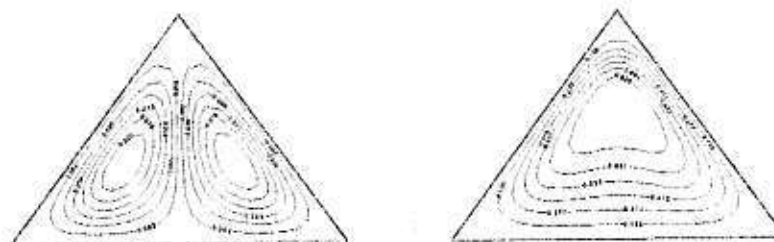
الشكل (11) المخطط الكنتوري لخطوط تساوي درجة الحرارة ودالة الانصاع عندما $(Ra=80000, Pe=300, Z=0.005)$



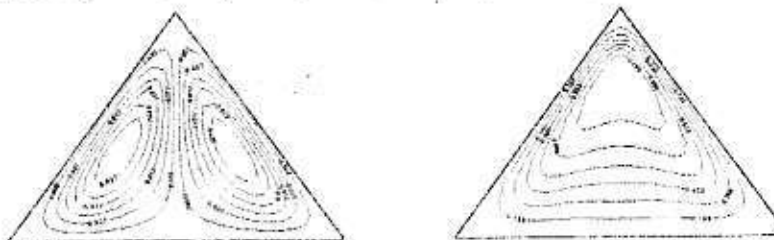
الشكل (12) المخطط الكنتوري لخطوط تساوي درجة الحرارة ودالة الالسياب عندما ($Ra=3000, Pe=300, Z=0.015$)



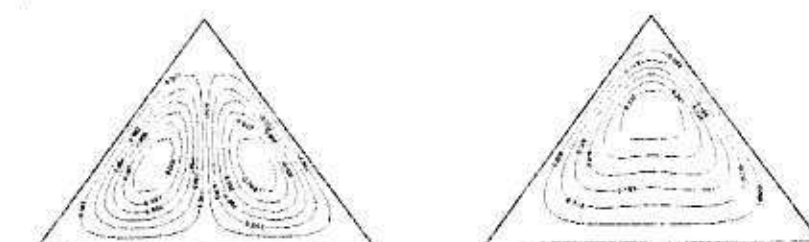
الشكل (13) المخطط الكنتوري لخطوط تساوي درجة الحرارة ودالة الالسياب عندما ($Ra=80000, Pe=300, Z=0.015$)



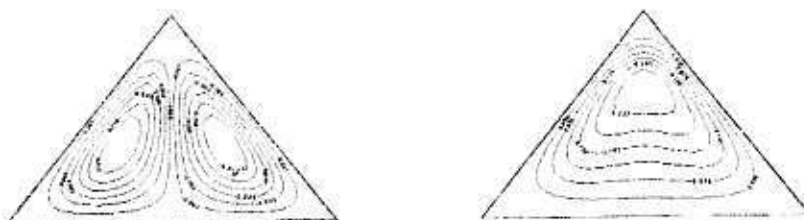
الشكل (14) المخطط الكنتوري لخطوط تساوي درجة الحرارة ودالة الالسياب عندما ($Ra>3000, Pe=300, Z=0.03$)



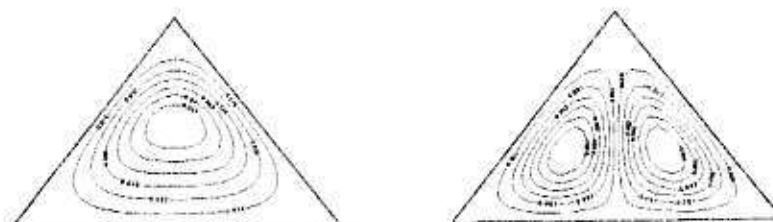
الشكل (15) المخطط الكنتوري لخطوط تساوي درجة الحرارة ودالة الالسياب عندما ($Ra=80000, Pe=300, Z=0.03$)



الشكل (16) المخطط الكنتوري لخطوط تساوي درجة الحرارة ودالة الالسياب عندما ($Ra=3000, Pe=300, Z=0.1$)



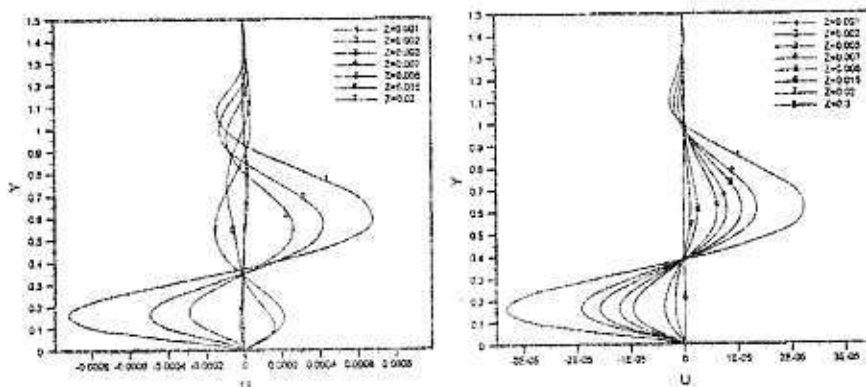
الشكل (17) المخطط الكثوري لخطوط تسامي درجة الحرارة ودالة الانسياق عندما ($Ra=80000, Pe=300, Z=0.1$)



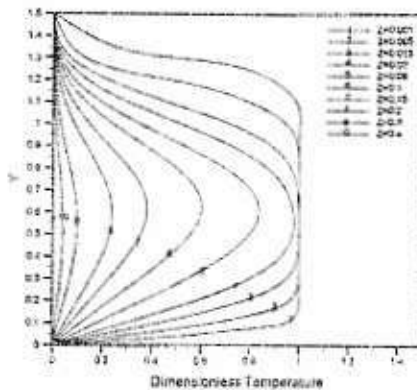
الشكل (18) المخطط الكثوري لخطوط تسامي درجة الحرارة ودالة الانسياق عندما ($Ra=3000, Pe=300, Z=0.2$)



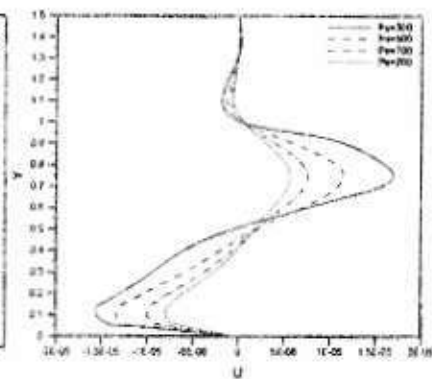
الشكل (19) المخطط الكثوري لخطوط تسامي درجة الحرارة ودالة الانسياق عندما ($Ra=80000, Pe=300, Z=0.2$)



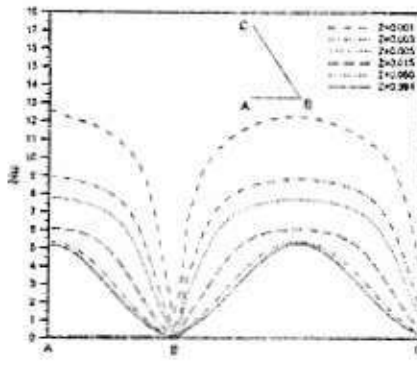
الشكل (20) تغير مرتبة السرعة الافقية مع التغير الشائرى
في أماكن مختلفة خلال القناة عندما ($Ra=80000, Pe=300$)
($Ra=3000, Pe=300$)



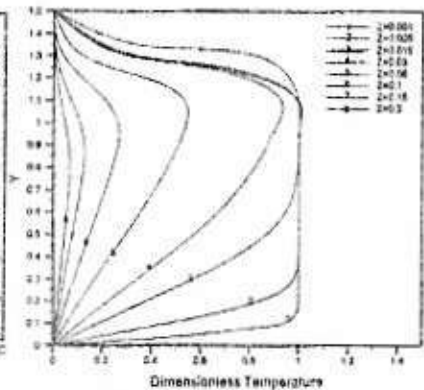
شكل (23) يوضح تأثير تغير درجة الحرارة على طول
 $Re=3000$
المحور الشاقولي المنصف للقناة عندما



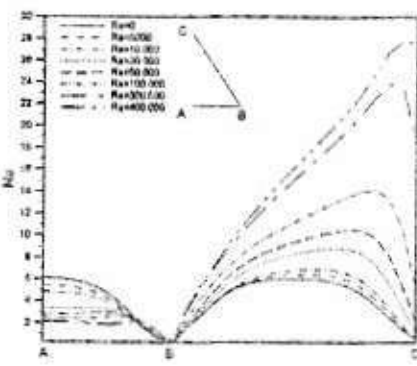
الشكل (22) تأثير عدد بحث على شدة مردبة
 $(R=80000, Z=0.015)$
السرعة الافقية عندما



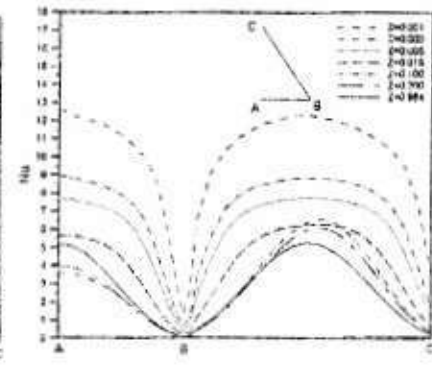
الشكل (25) تأثير موضع انتقال الحرارة الموضعي على
محيط القناة في مواقع مختلفة خلال القناة عندما
 $Ra=0$



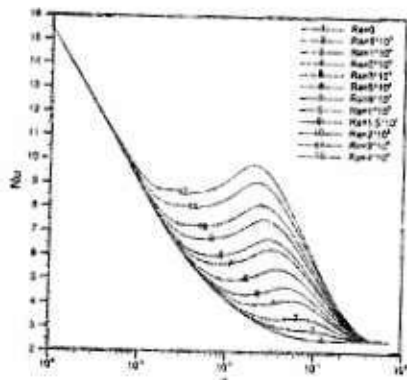
الشكل (24) يوضح تأثير درجة الحرارة على طول
المحور الشاقولي المنصف للقناة عندما
 $Ra=80000$



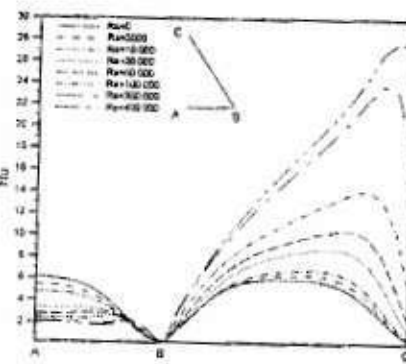
الشكل (27) تأثير معامل النقل الحراري الموضعي على محيط
القناة في مواقع مختلفة خلال القناة عندما
 $Ra=80000$



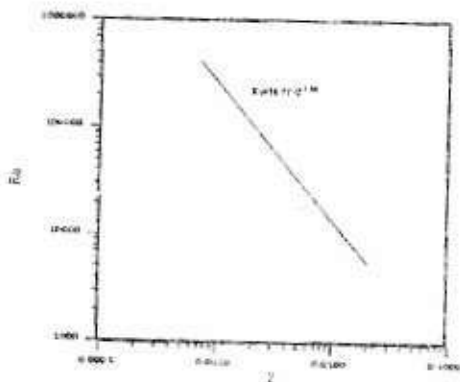
الشكل (26) تأثير معامل النقل الحراري الموضعي على محيط
القناة في مواقع مختلفة خلال القناة عندما
 $Re=3000$



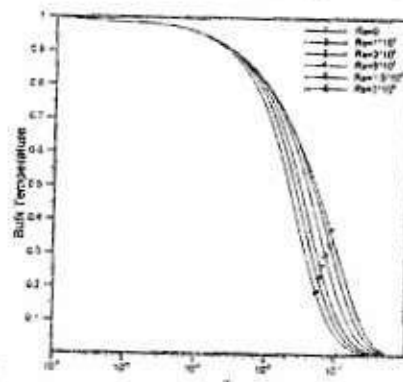
الشكل (29) يوضح تأثير عدد رالي على
معدل م湍ال انتقال الحرارة داخل القناة



الشكل (28) تأثير زيادة عدد رالي على قيمة الوضعيه
لمعامل انتقال الحرارة على محيط القناه عندما ($Z=0.0015$)



الشكل (31) يوضح تأثير عدد رالي على
تقدير طول النخول الحراري خلال القناة



الشكل (30) يوضح تأثير عدد رالي على تغير درجة
الحرارة الظاهرية للقانع الجاري خلال القناة